

Abb. 1a

x ... erreichte Punktezahl

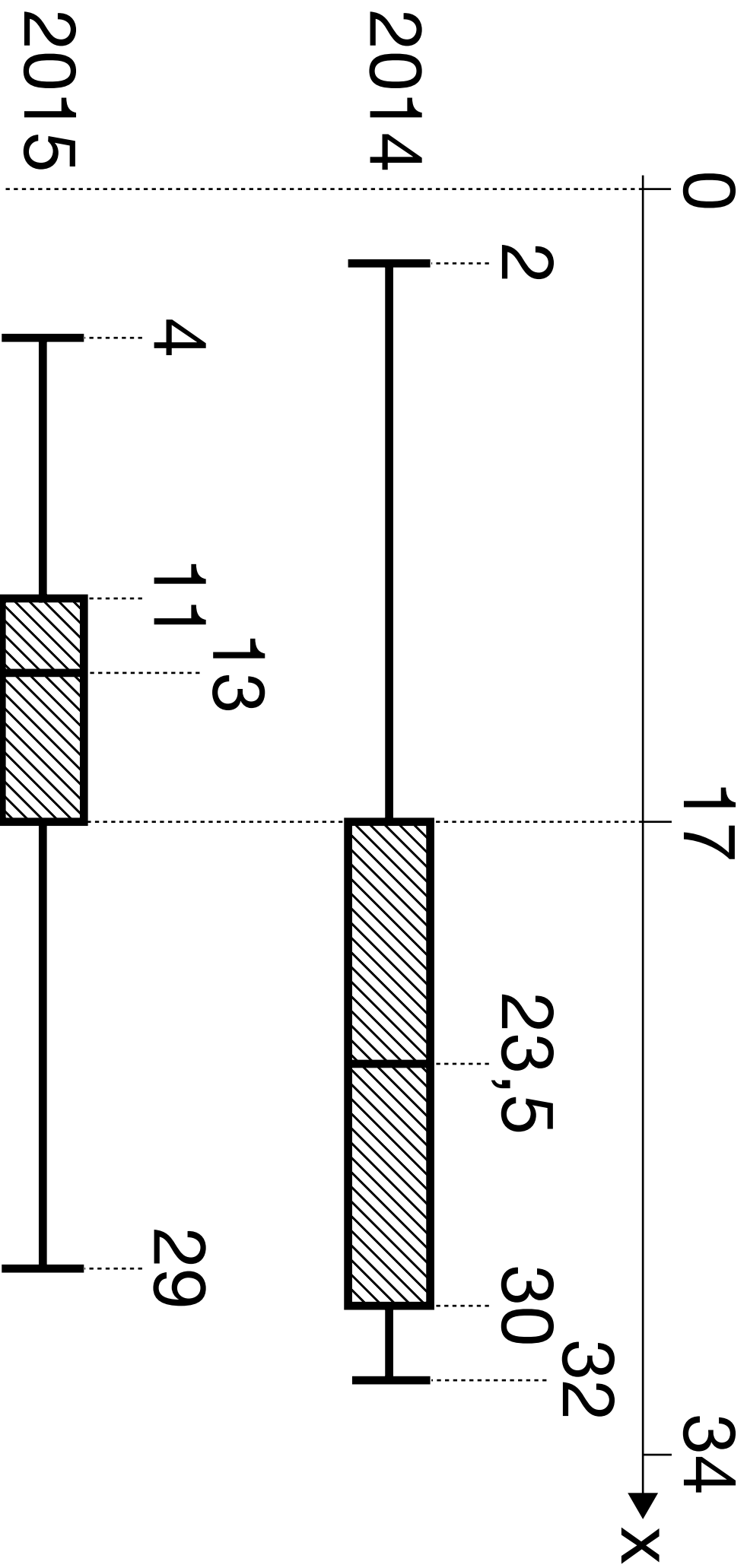


Abb. 2c

x ... Anzahl der teilnehmenden Personen

y ... Gesamtkosten in Euro

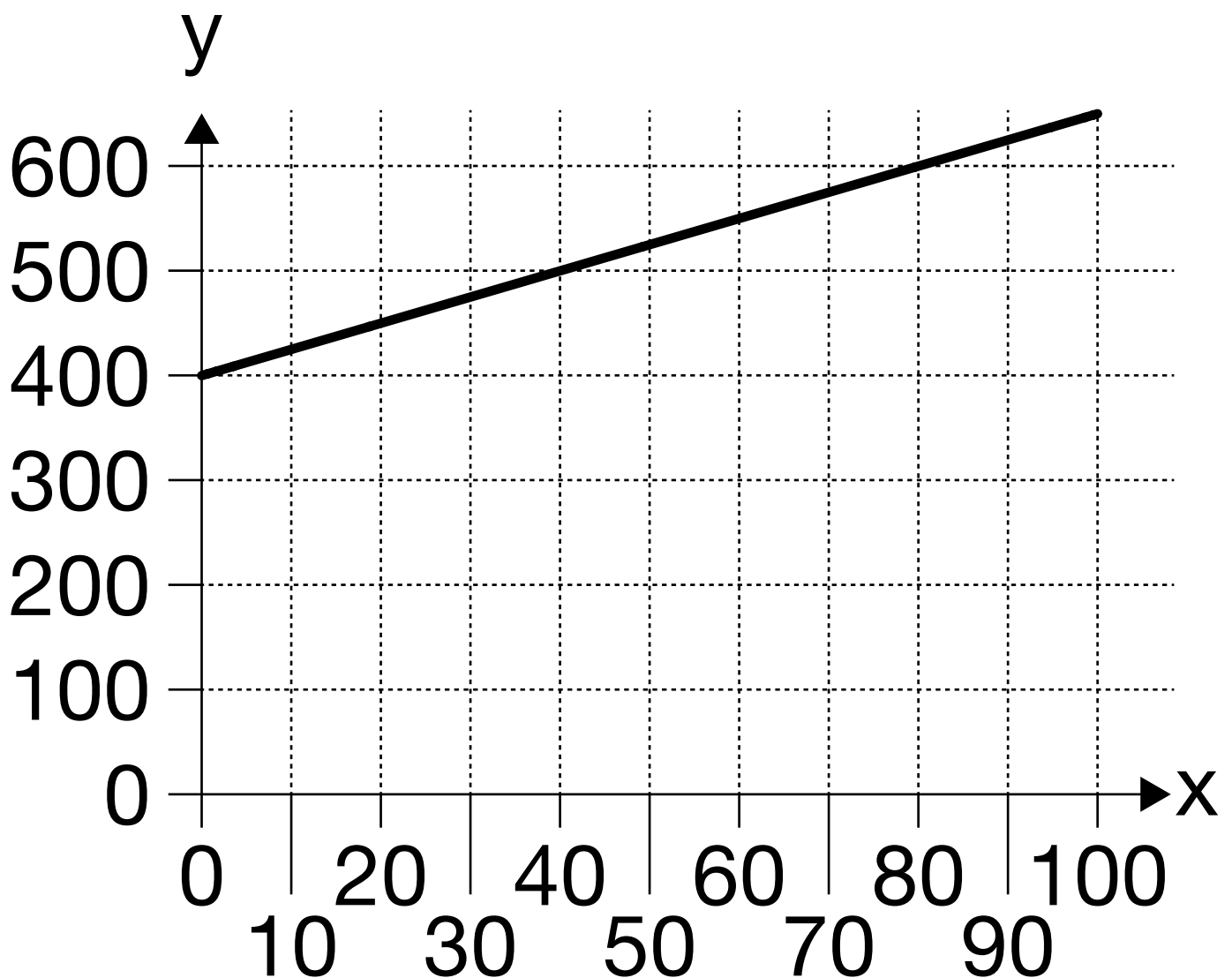


Abb. 3b_1

x ... Außentemperatur x in °C

y ... Vorlauftemperatur V(x) in °C

P_1 =(-15|60), P_2 =(0|48), P_3 =(10|36),

P_4 =(20|20)

Abb. 3b_2

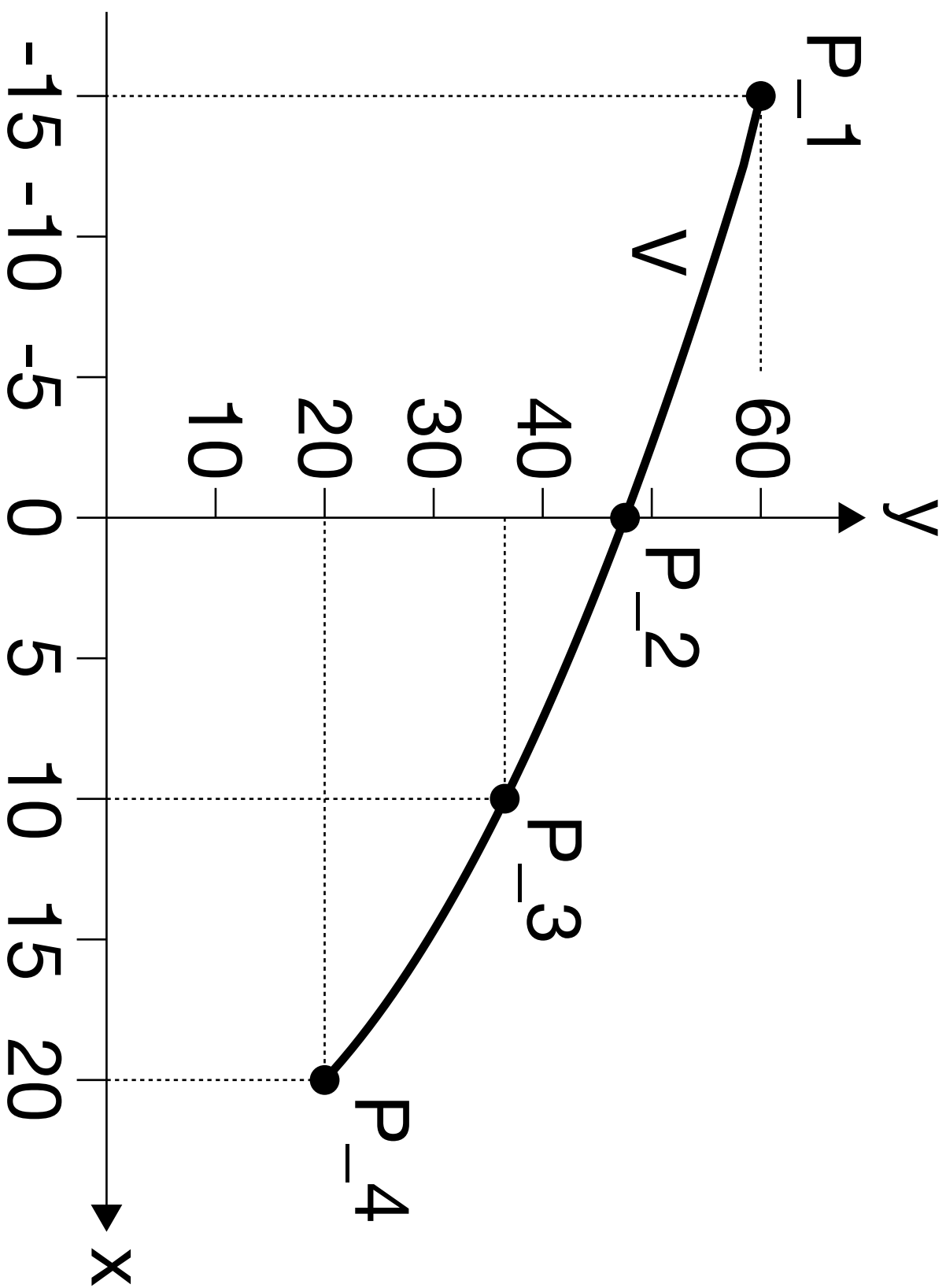


Abb. 3c_1

x ... x in m

y ... h(x) in m

E=(0|2) ... Einblasstutzen

S=(2|1,5) ... unteres Ende der Schutzmatte

x-Achse ... Boden

— ... Decke

· · · · · Schutzmatte

— ... Wand hinter der Schutzmatte

Abb. 3c_2

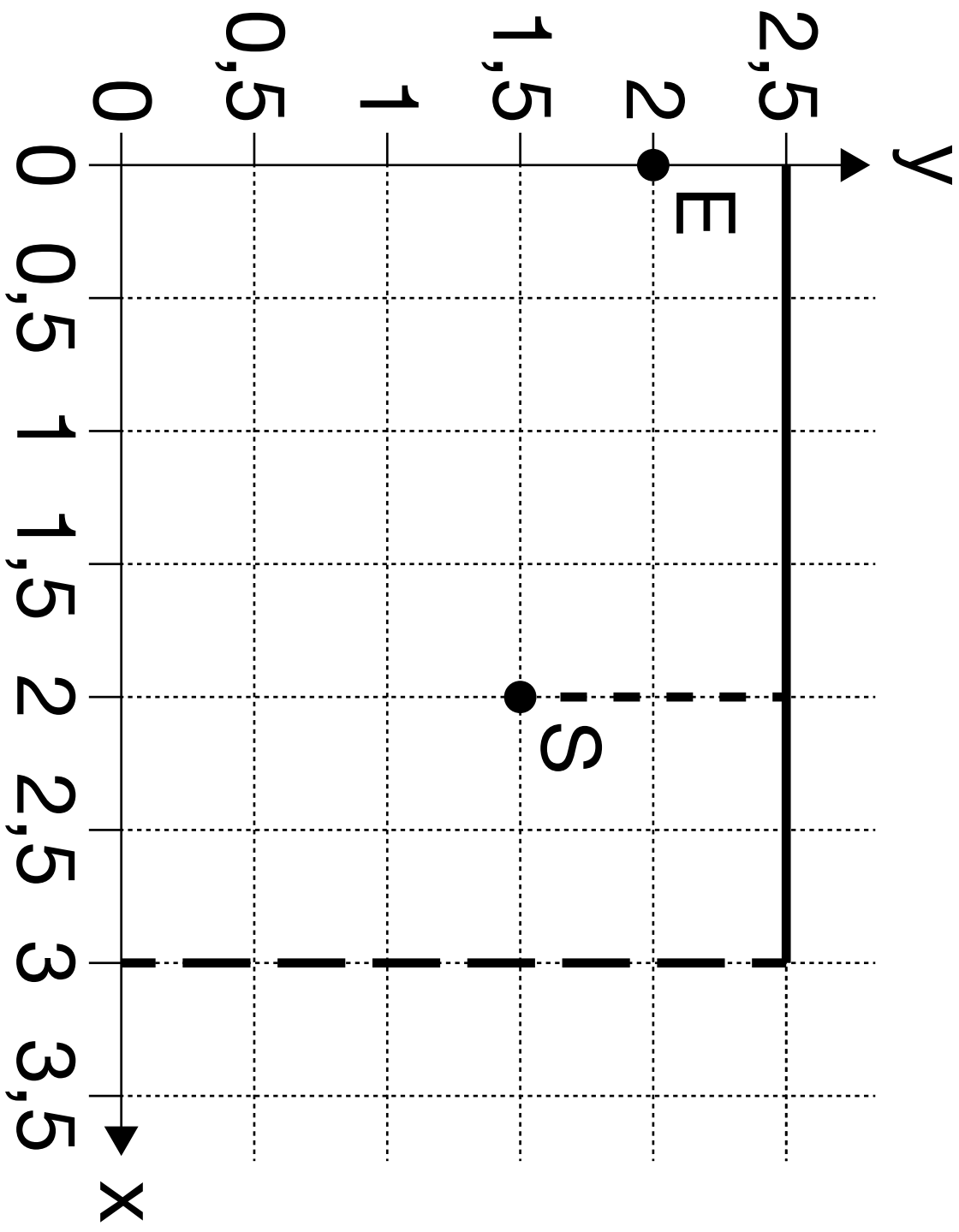


Abb. 4b

Dreieck ABC:

$|AB| = h$... Höhe der Fangstange

$|BC| = r$... Radius der Grundfläche des Schutzbereichs

$\alpha = \angle(BAC)$... Schutzwinkel

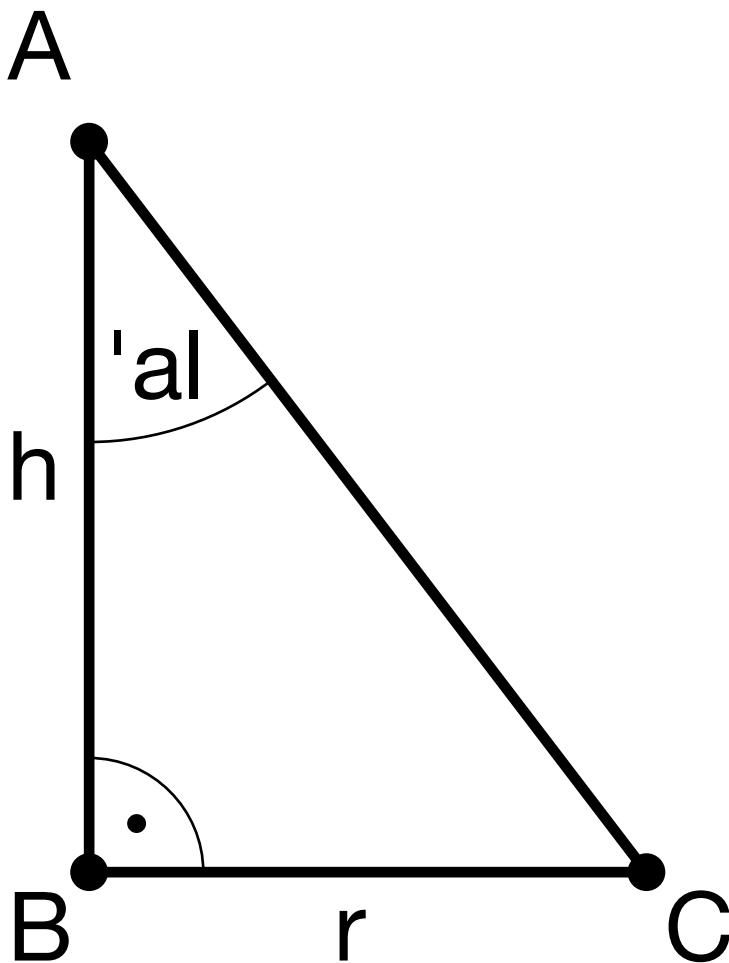


Abb. 4c_1

x ... Zeit t seit Beginn der Messung in h

y ... $T'(t)$ in °C/h

$T''(t)$... momentane Änderungsrate der

Temperatur zur Zeit t

t_0 = 0,9 ... Nullstelle von T''

P_1 = (0|-5,6), P_2 = (0,5|-2,2), P_3 = (1,25|3,4),

P_4 = (1,5|7,5)

Abb. 4c_2

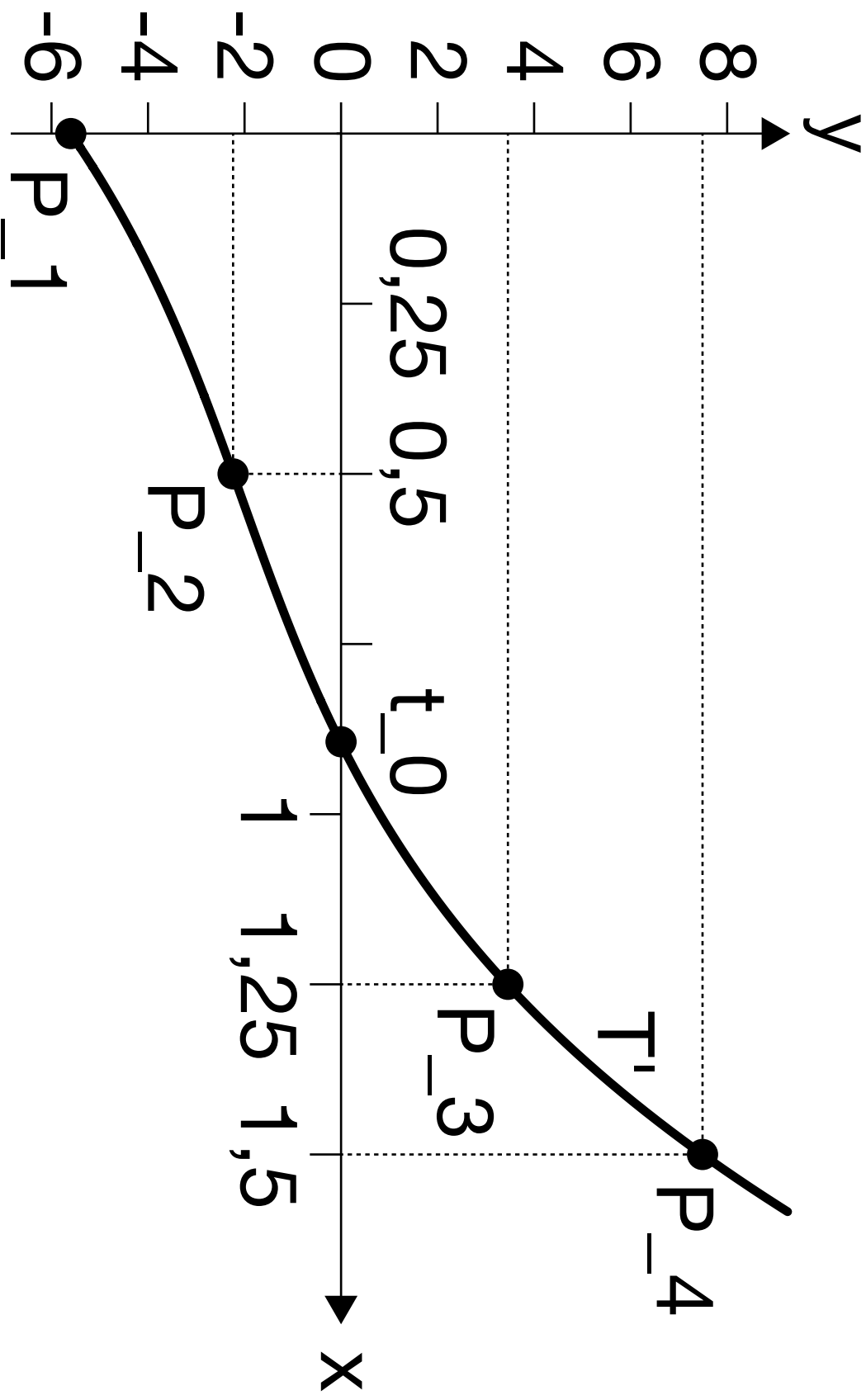


Abb. 8b_1

$x \dots x$ in ME

$y \dots K(x), E(x), G(x)$ in GE

— \dots Graph von K

· · · · · \dots Graph von E

— \dots Graph von G



Abb. 8b_2

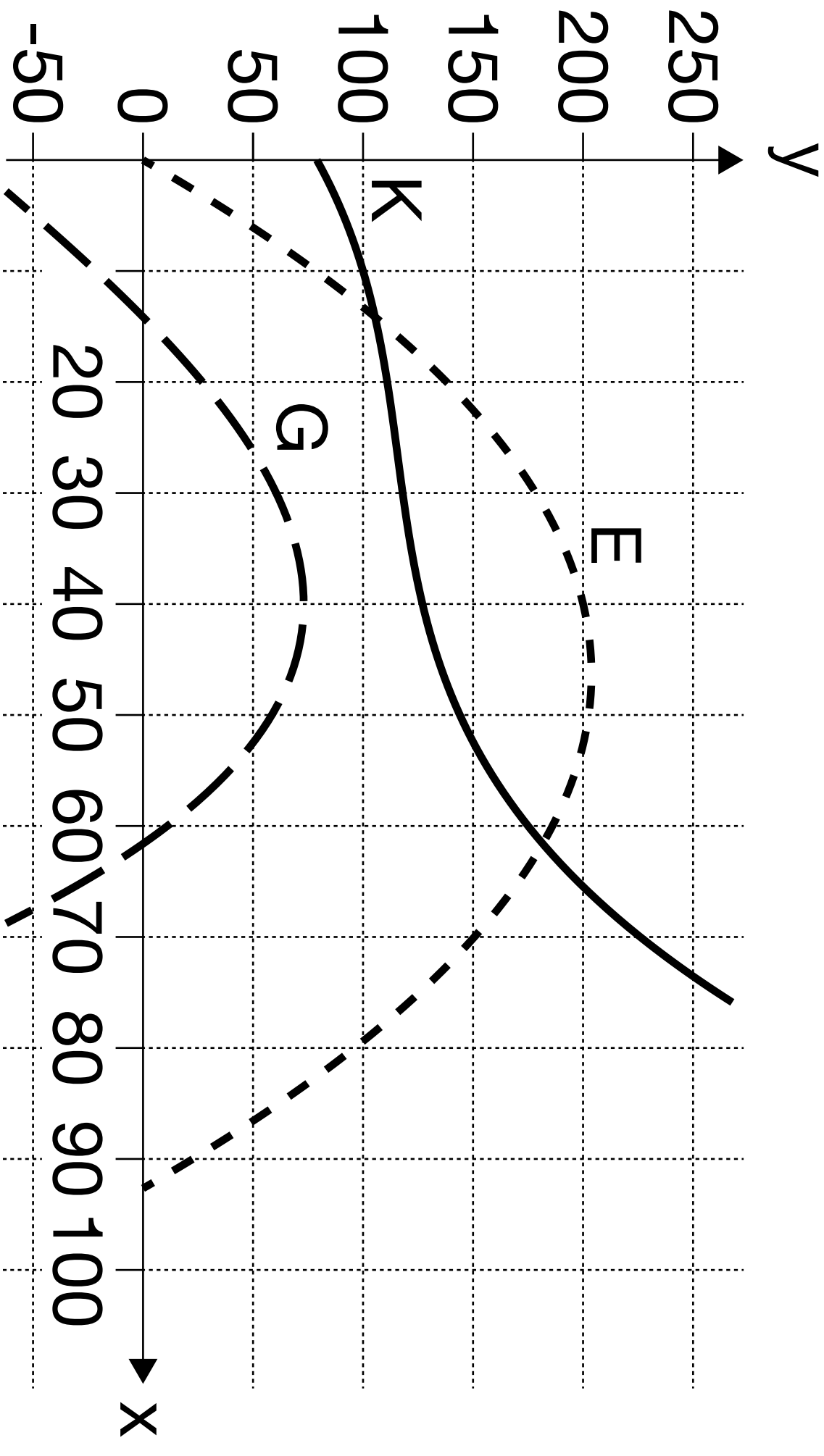


Abb. 8c

$x \dots x$ in ME

$y \dots p_A(x), p_N(x)$ in GE/ME

